



HAL
open science

Biodiversité épiphyte des feuilles de posidonie et bioconcentration de contaminants : suivi pluriannuel des herbiers de Fos, Marseille et Toulon

Noëlle Sarkis, Cédric Amadéi, Hugo Amella, Bernard Angeletti, Cécile Chemin, Edwige Coch, Vincent Dubut, Laure Malleret, Paul Martin, Emese Megléczy, et al.

► **To cite this version:**

Noëlle Sarkis, Cédric Amadéi, Hugo Amella, Bernard Angeletti, Cécile Chemin, et al.. Biodiversité épiphyte des feuilles de posidonie et bioconcentration de contaminants : suivi pluriannuel des herbiers de Fos, Marseille et Toulon. Dix ans de recherches de l'Observatoire Hommes-Milieus Littoral méditerranéen sur le Littoral marseillais, OHM Littoral méditerranéen; ESPACE UMR 7300, Jun 2023, Marseille (13), France. hal-04141983

HAL Id: hal-04141983

<https://hal.science/hal-04141983v1>

Submitted on 27 Jun 2023

HAL is a multi-disciplinary open access archive for the deposit and dissemination of scientific research documents, whether they are published or not. The documents may come from teaching and research institutions in France or abroad, or from public or private research centers.

L'archive ouverte pluridisciplinaire **HAL**, est destinée au dépôt et à la diffusion de documents scientifiques de niveau recherche, publiés ou non, émanant des établissements d'enseignement et de recherche français ou étrangers, des laboratoires publics ou privés.

Biodiversité épiphyte des feuilles de posidonie et bioconcentration de contaminants : suivi pluriannuel des herbiers de Fos, Marseille et Toulon

SARKIS Noëlle¹, AMADÉI Cédric¹, AMELLA Hugo¹, ANGELETTI Bernard², CHEMIN Cécile¹, COCH Edwige¹, DUBUT Vincent¹, MALLERET Laure³, MARTIN Paul¹, MEGLE CZ Emese¹, PETIT Alice¹, MIRLEAU Pascal¹

¹ Aix Marseille Univ, Avignon Université, CNRS, IRD, IMBE, ITEM, OCEAN, Marseille, France

² Aix Marseille Univ, CNRS, IRD, INRA, Coll France, CEREGE, Aix-en-Provence, France

³ Aix Marseille Univ, CNRS, LCE, ITEM, Aix en Provence, France

pascal.mirleau@imbe.fr

La Mer Méditerranée, un “hotspot” de biodiversité

Posidonia oceanica espèce ingénieure clé-de-voute du littoral

VS

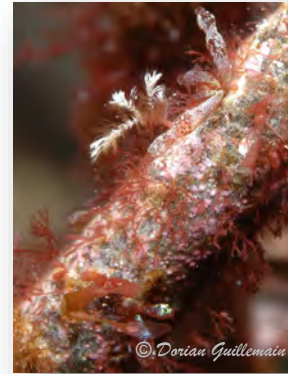
Pollutions chimiques :

Métaux, micropolluants organiques, POP,...



Vulnérabilité de *Posidonia oceanica* aux activités anthropiques ?

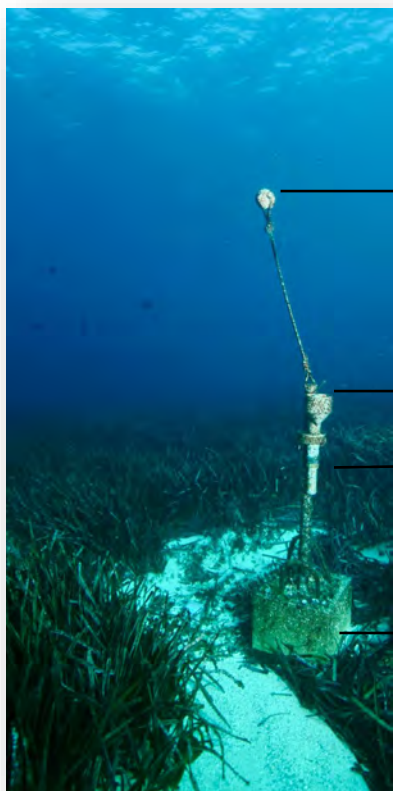
Les organismes épiphytes des feuilles de *P. oceanica* : quelle biodiversité ?



Influence des contaminants sur la biodiversité épiphytes des feuilles de *P. oceanica* ?

17 sites instrumentés (2017...)

- Urbanisation ?
- Industries ?
- Ports ?
- Rejets d'eaux usées ?

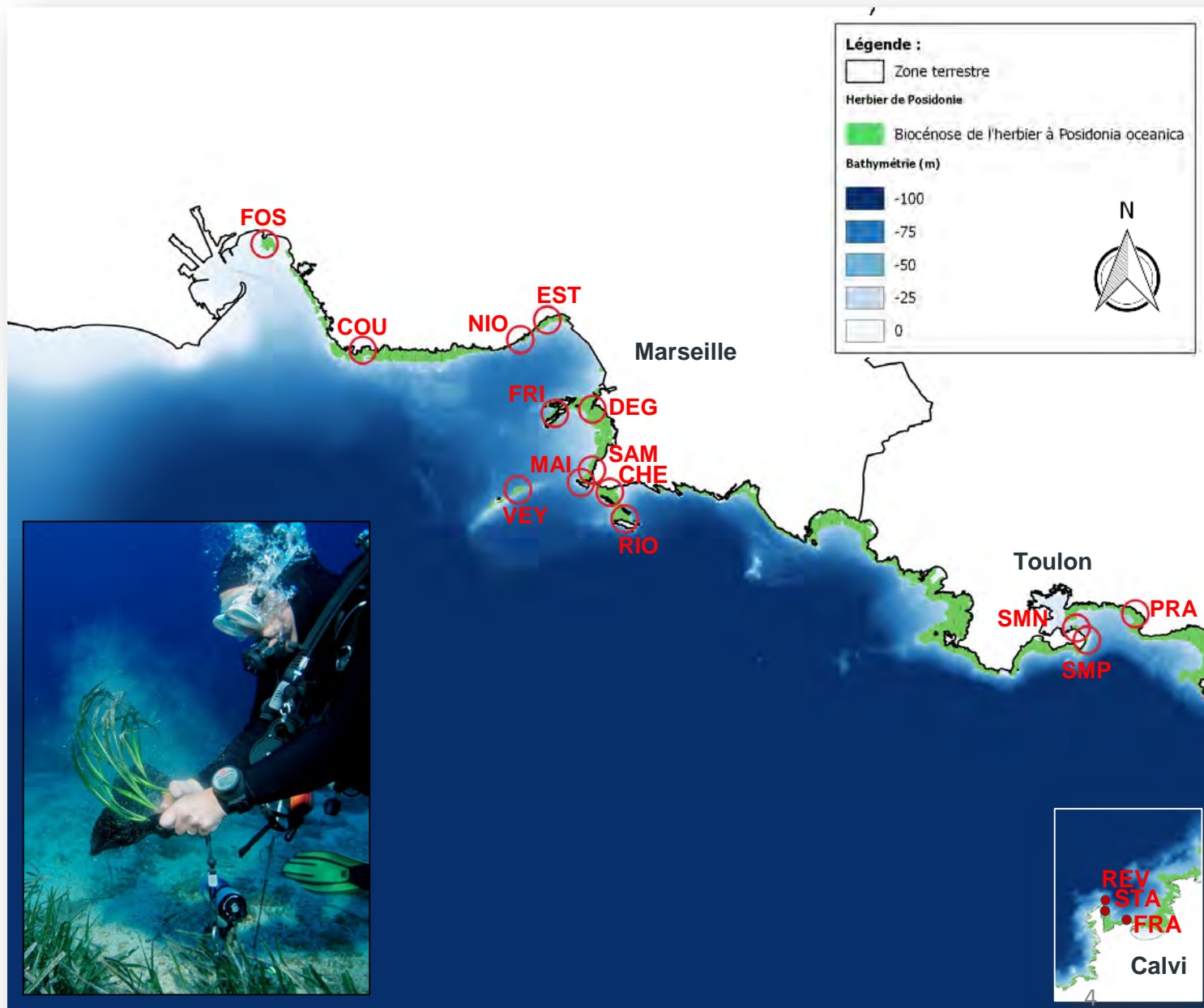


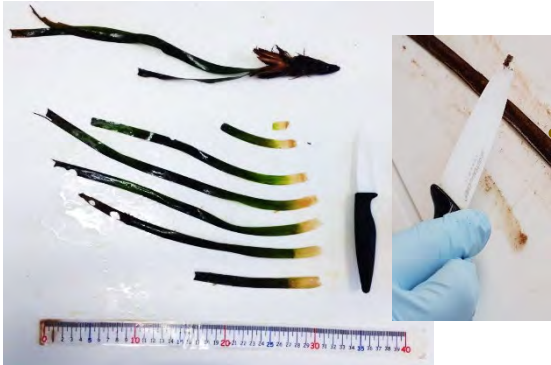
Flotteur

Capteur Lux / T°

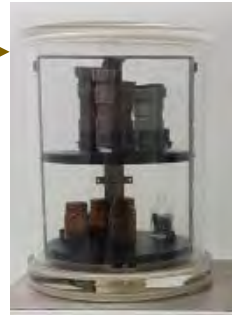
Trappe à sédiments
(Matières En Suspension)

Pied





Morphométrie des faisceaux
Séparation des épiphytes et des feuilles



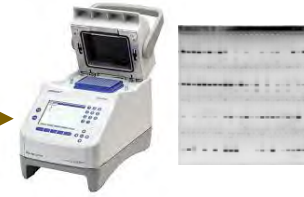
Congélation
Lyophilisation



Broyage



Extraction ADNe



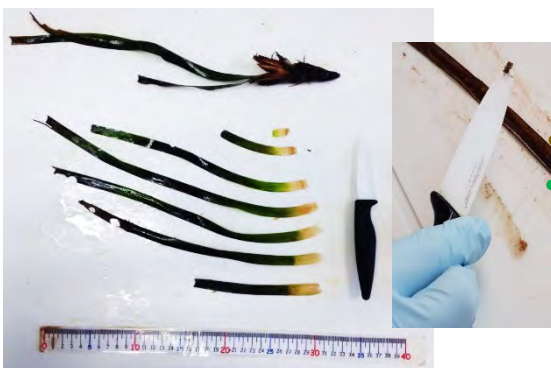
Amplifications PCR &
« DNA tagging » : COI & 16S



Séquençage
Illumina®

Bioinformatique

Biodiversité



Morphométrie des faisceaux
Séparation des épiphytes et des feuilles



Sédiments



Congélation
Lyophilisation



Broyage



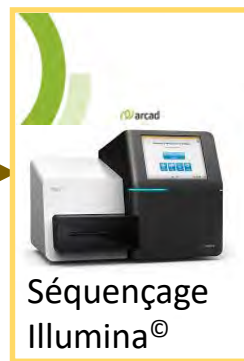
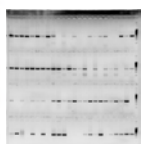
Fractionnement
/ tamisage



Extraction ADNe



Amplifications PCR &
« DNA tagging » : COI & 16S



Séquençage
Illumina®



Minéralisation + ICP-MS

Bioinformatique

Biodiversité

Contaminants

Contaminants

Contaminants

Diversité γ (régionale)

→ 833 échantillons → 12077 variants (séquences uniques) → affiliation taxonomique → 1466 clusters (groupe de variants = « espèce »)

Diversité γ

(régionale)

→ 833 échantillons → 12077 variants (séquences uniques) → affiliation taxonomique → 4280 clusters (groupe de variants = « espèce »)

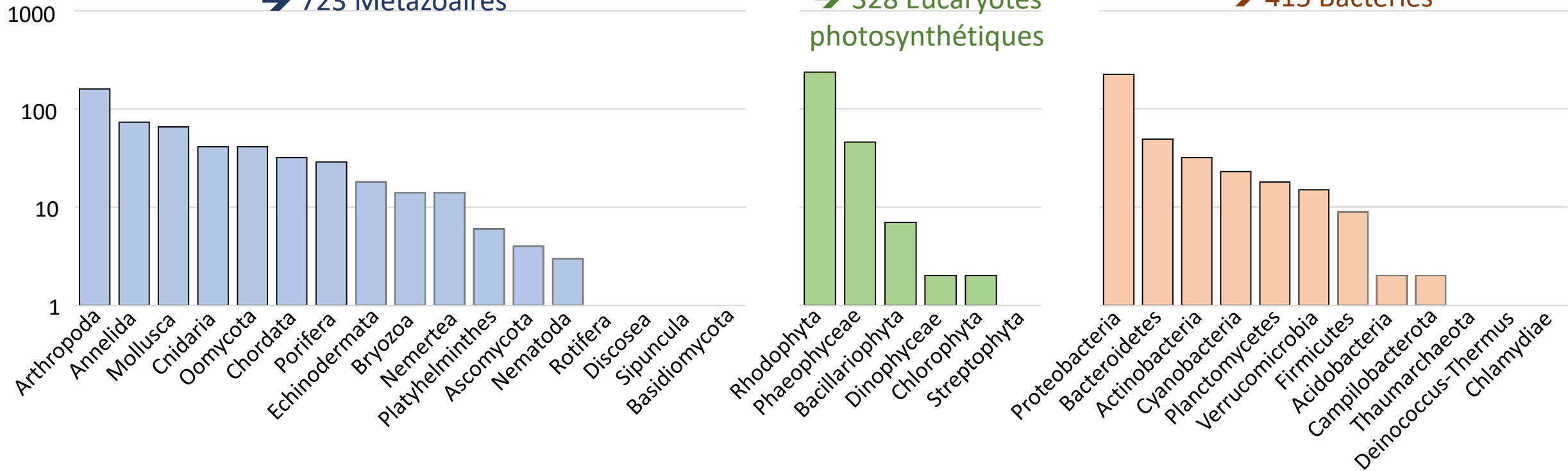
COI

16S

→ 723 Métazoaires

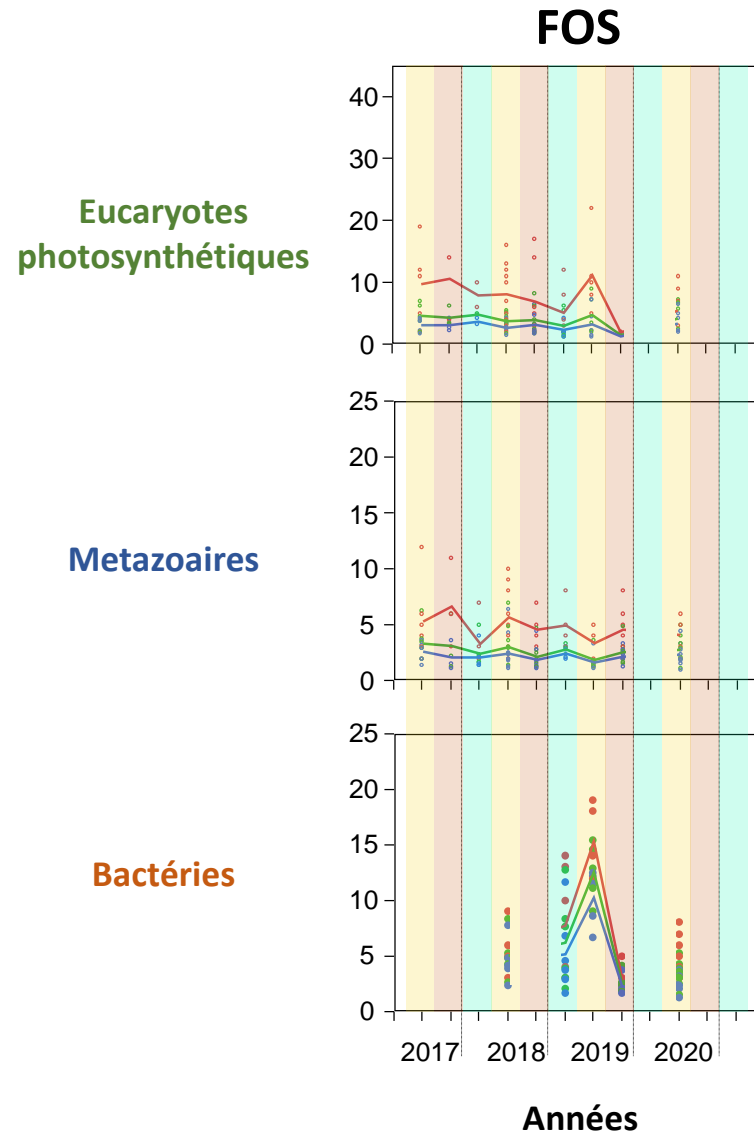
→ 328 Eucaryotes photosynthétiques

→ 415 Bactéries



Diversité α → Dynamique temporelle

(locale)



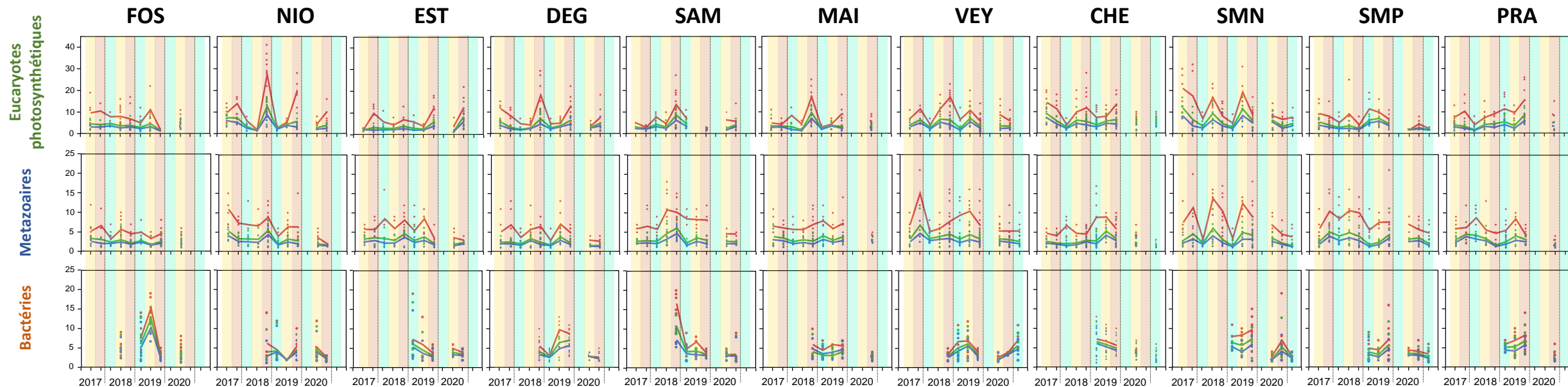
S : Richesse spécifique

H1 = e^{Shannon}

H2 = 1/Simpson (Taxons dominants)

Diversité α

(locale)



→ Eucaryotes photosynthétiques + diversifiés

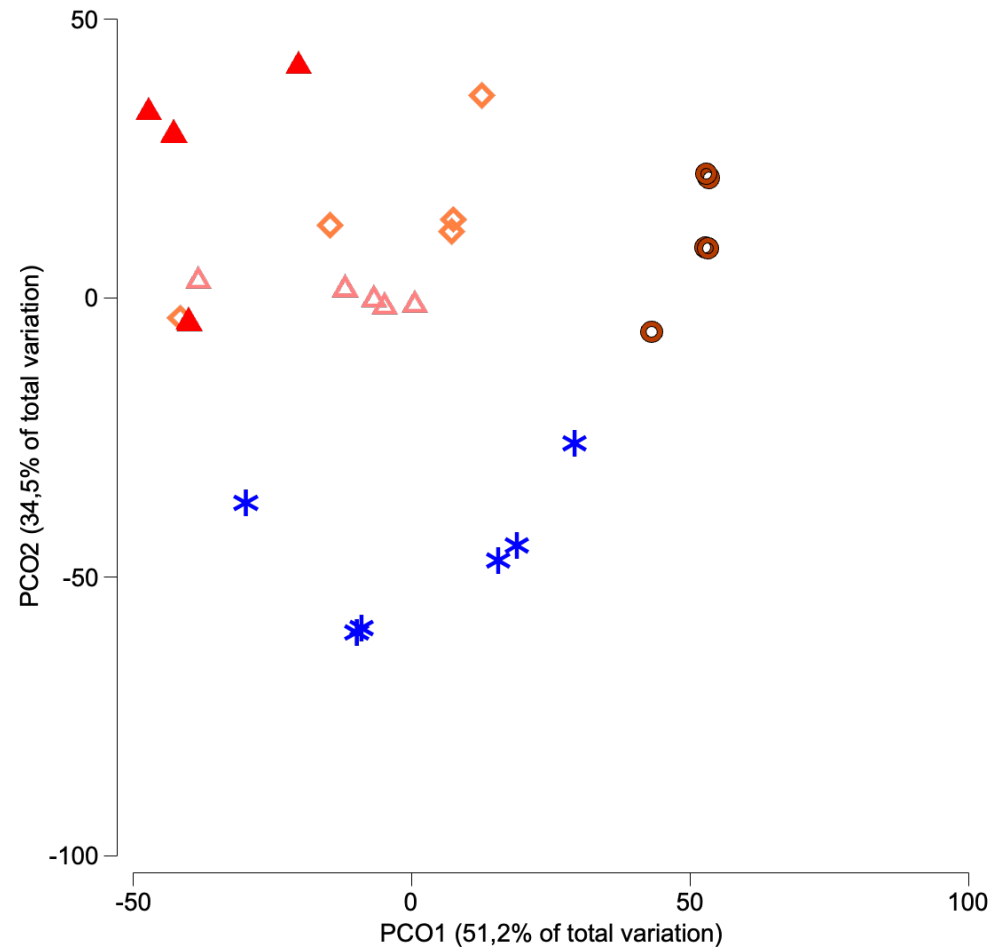
→ Saisonnalité marquée avec une diversité maximum en été ou en automne

→ Dynamiques découplées entre les groupes taxonomiques

→ Variabilité interannuelle

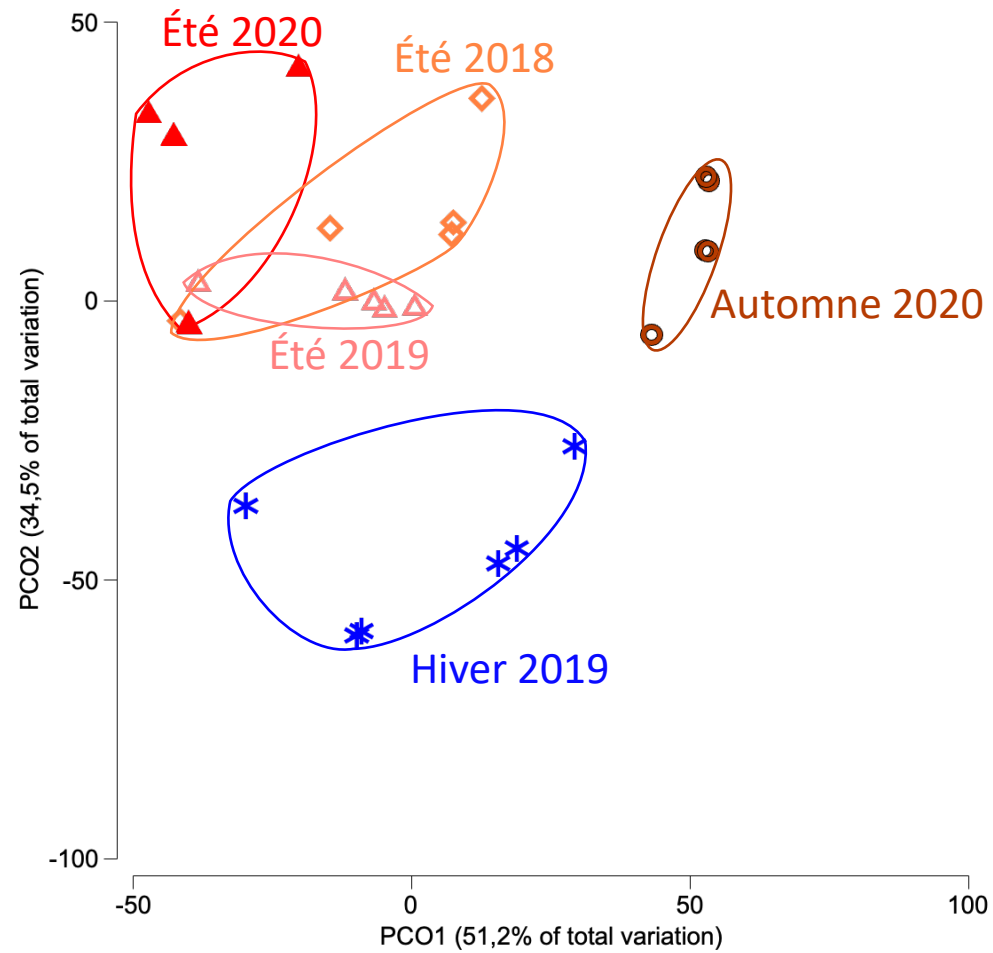
Diversité β → Changement de composition des assemblages entre saisons

(dissimilarité)



Exemple : 16S FOS

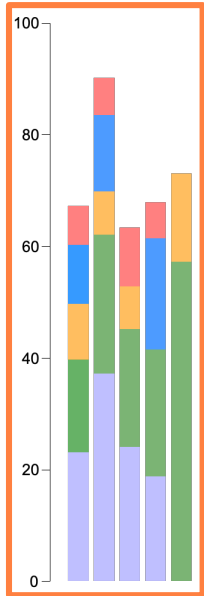
Diversité β → Changement de composition des assemblages entre **saisons**
(dissimilarité)



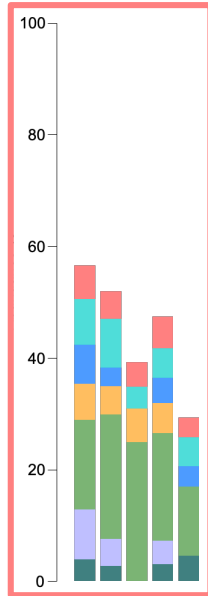
Exemple : 16S FOS

Diversité β → Changement de composition des assemblages entre saisons (dissimilarité)

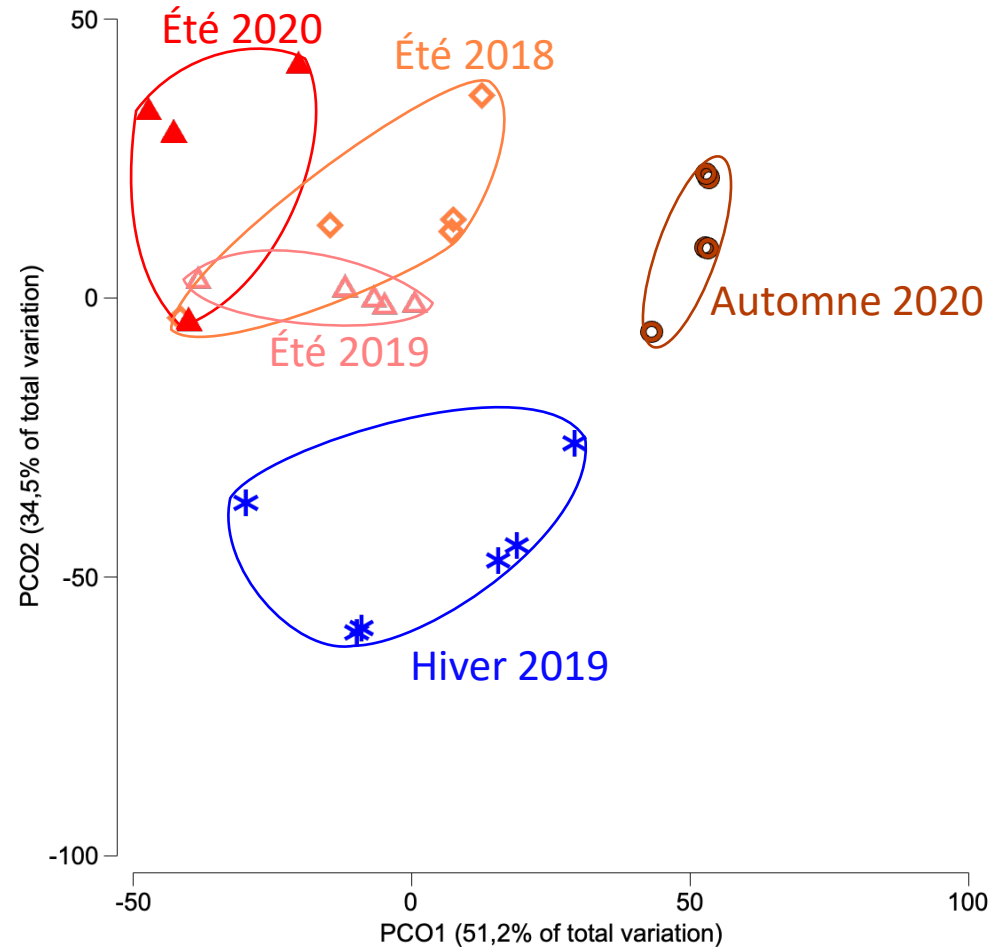
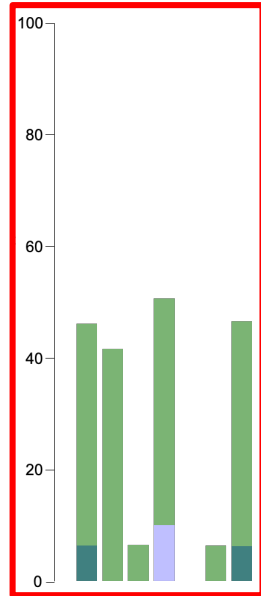
Été 2018



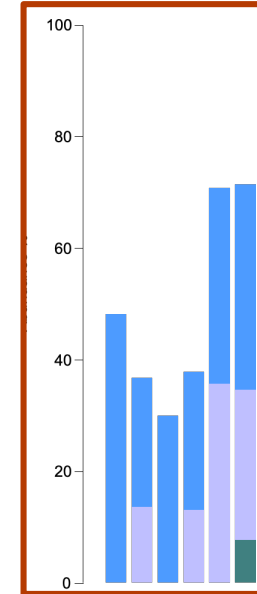
Été 2019



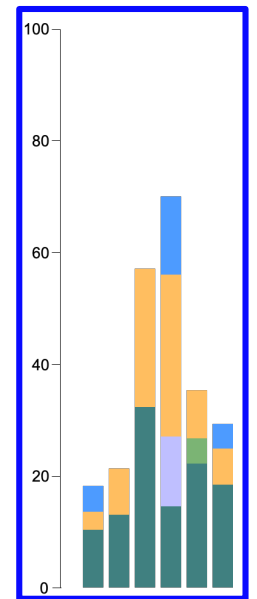
Été 2020



Automne 2020



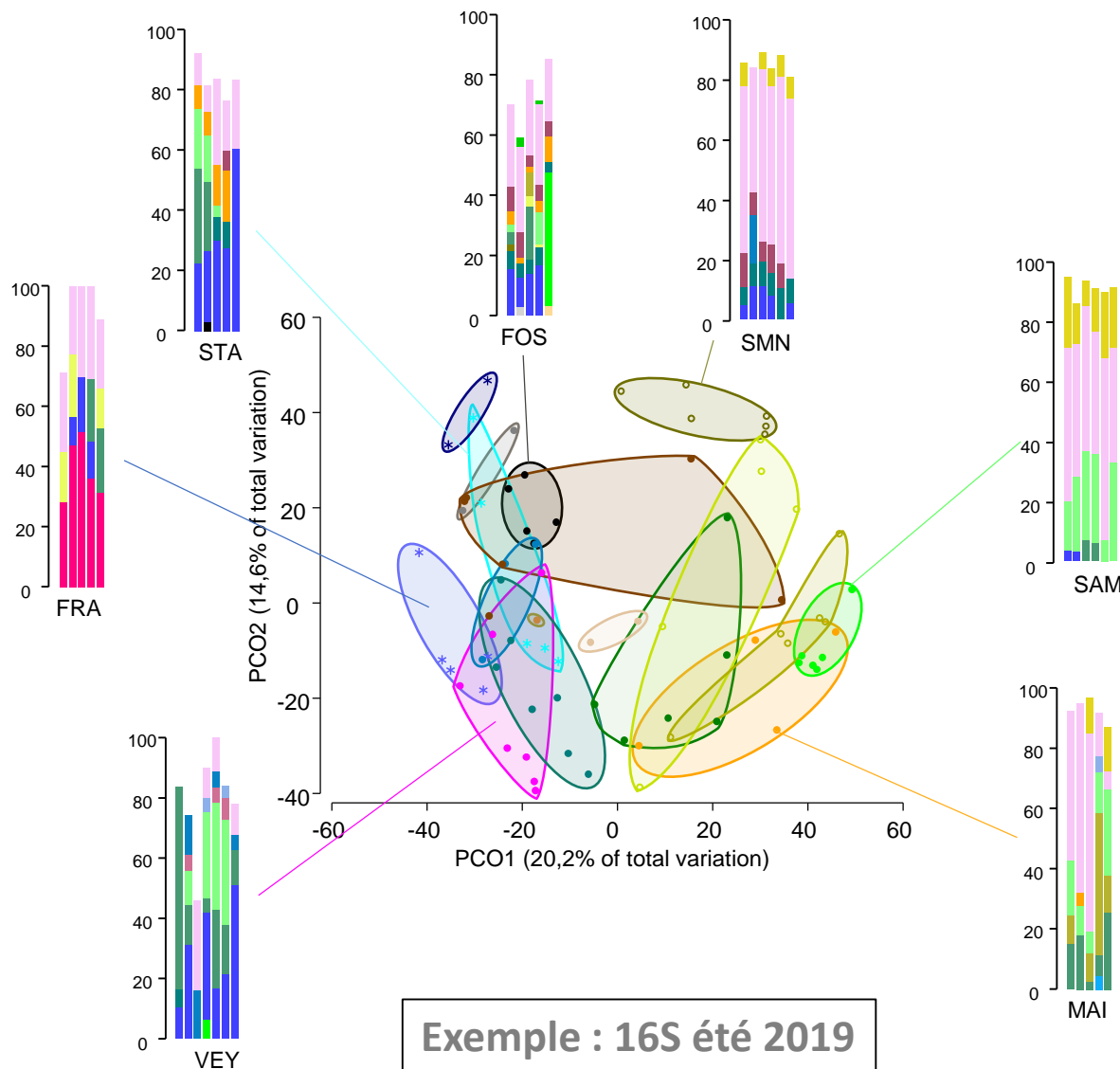
Hiver 2019



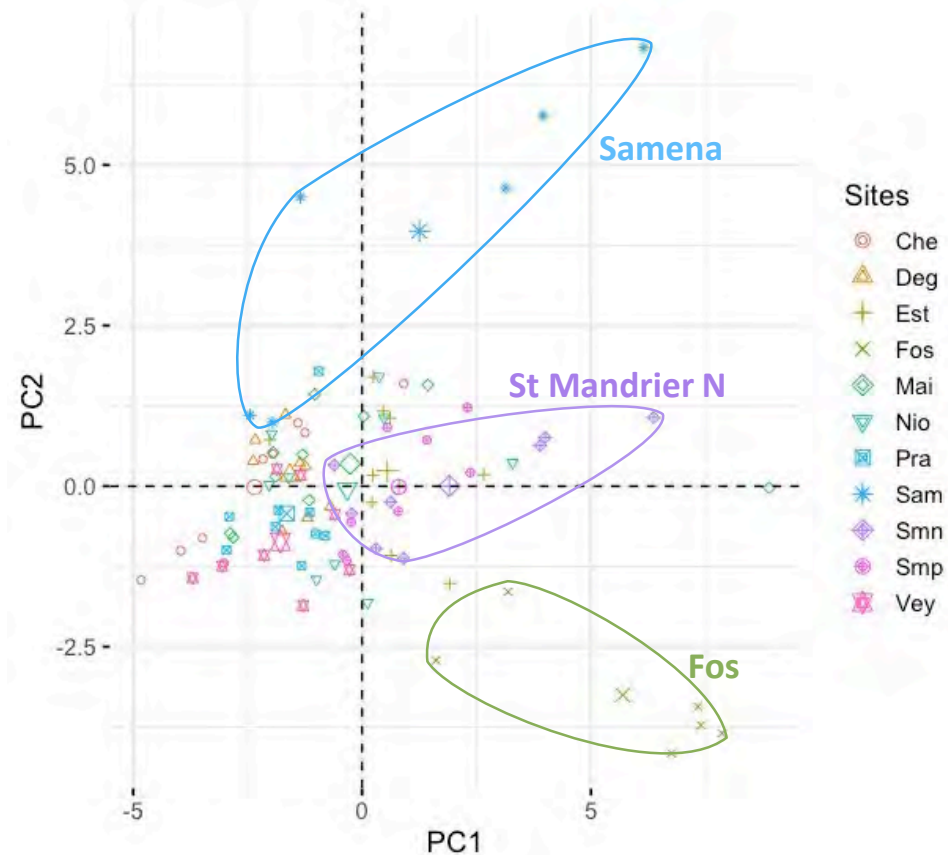
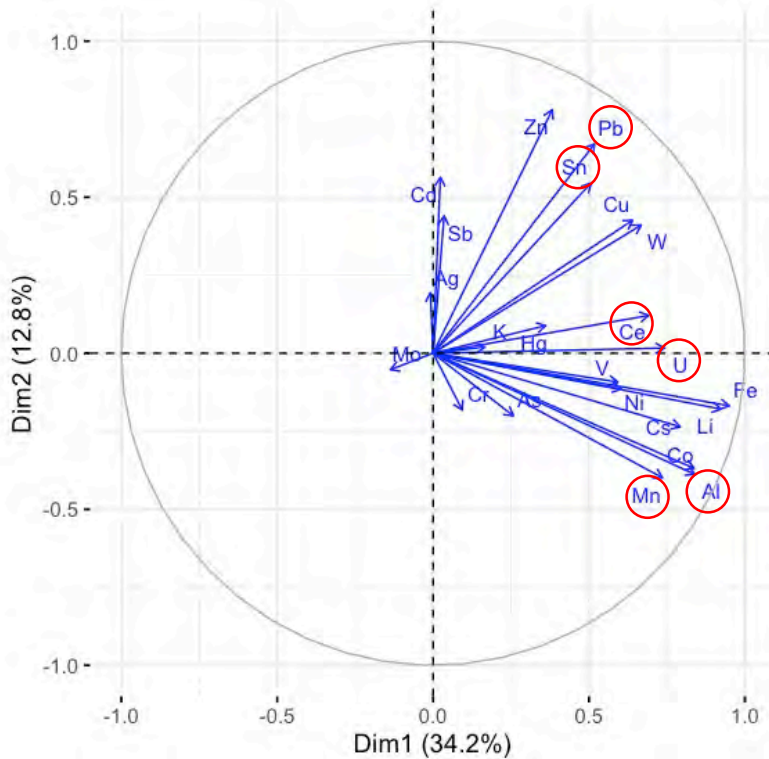
Exemple : 16S FOS

Diversité β → difference de composition des assemblages entre sites (dissimilarité)

- Sites
- Fos
 - Cou
 - Nio
 - Est
 - Fri
 - Deg
 - Sam
 - Vey
 - Mai
 - Che
 - Rio
 - Smn
 - Smp
 - Pra
 - * Sta
 - * Rev
 - * Fra

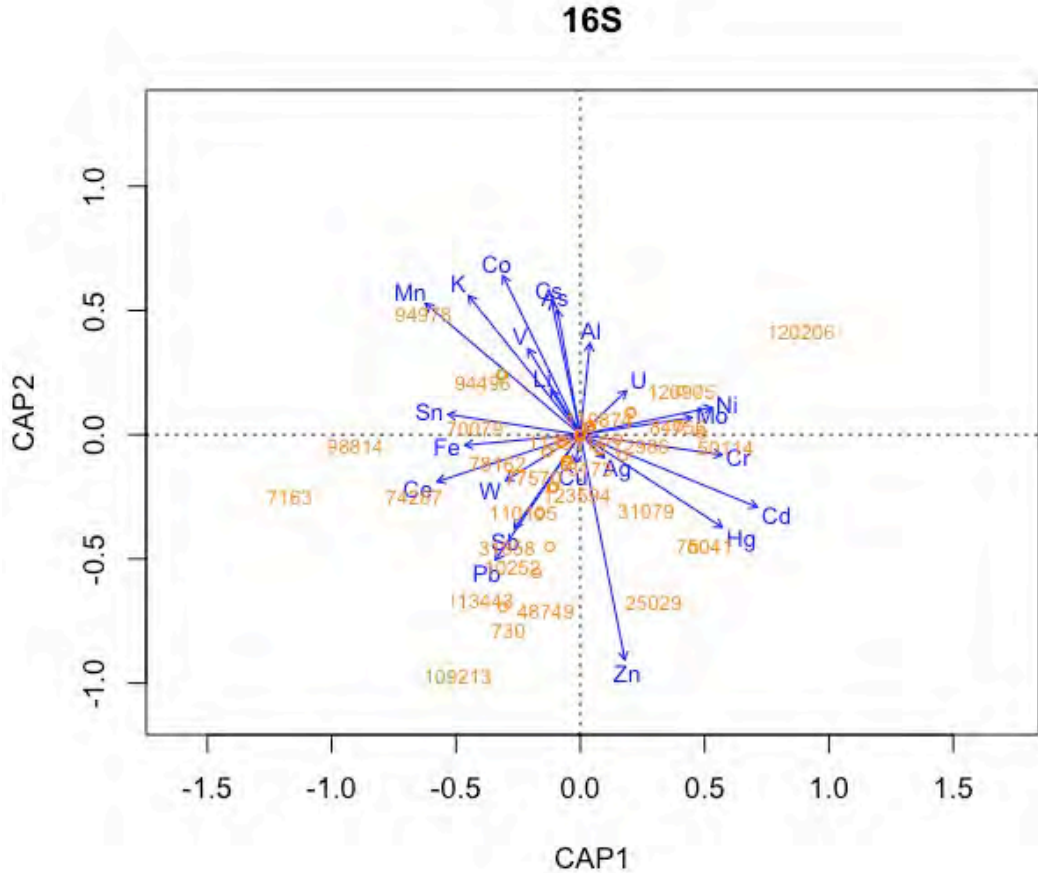


Bioconcentration des contaminants (ETMM) dans les assemblages épiphytes ?



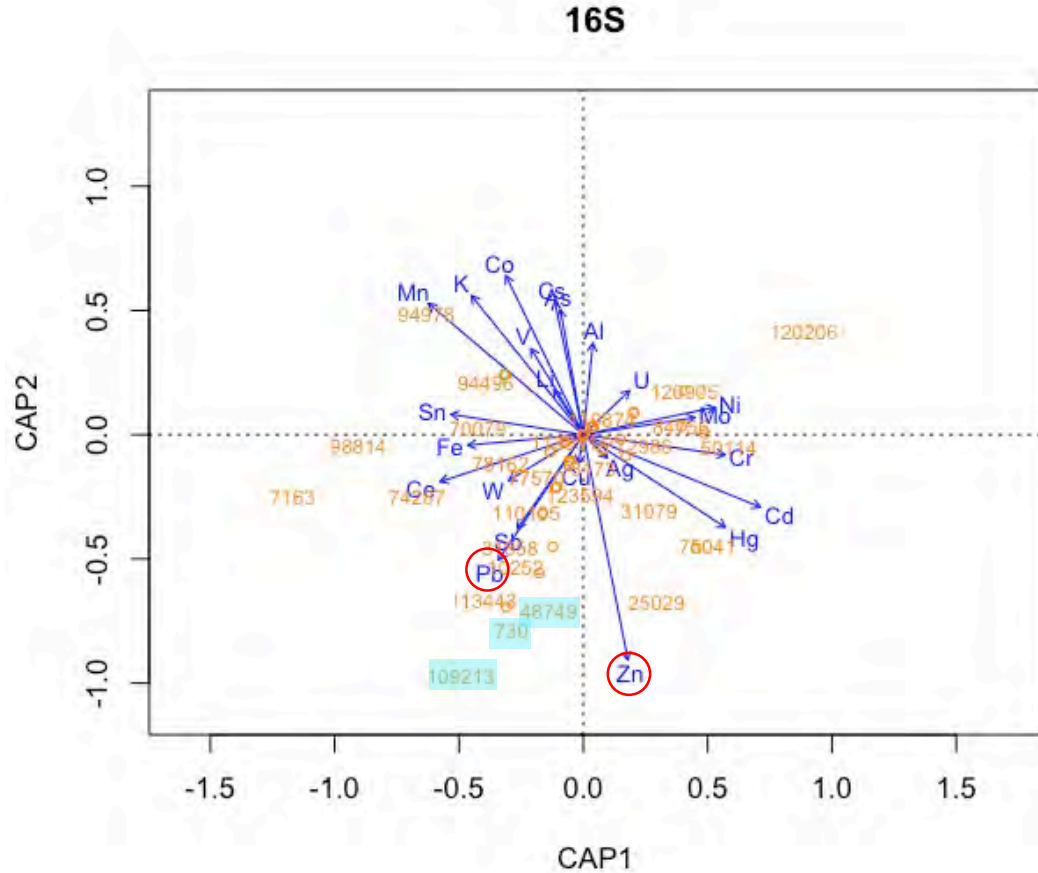
→ Variable selon les **sites** : reflets des activités industrielles actuelles ou passées !

Influence des contaminants (ETMM) sur les assemblages épiphytes ?



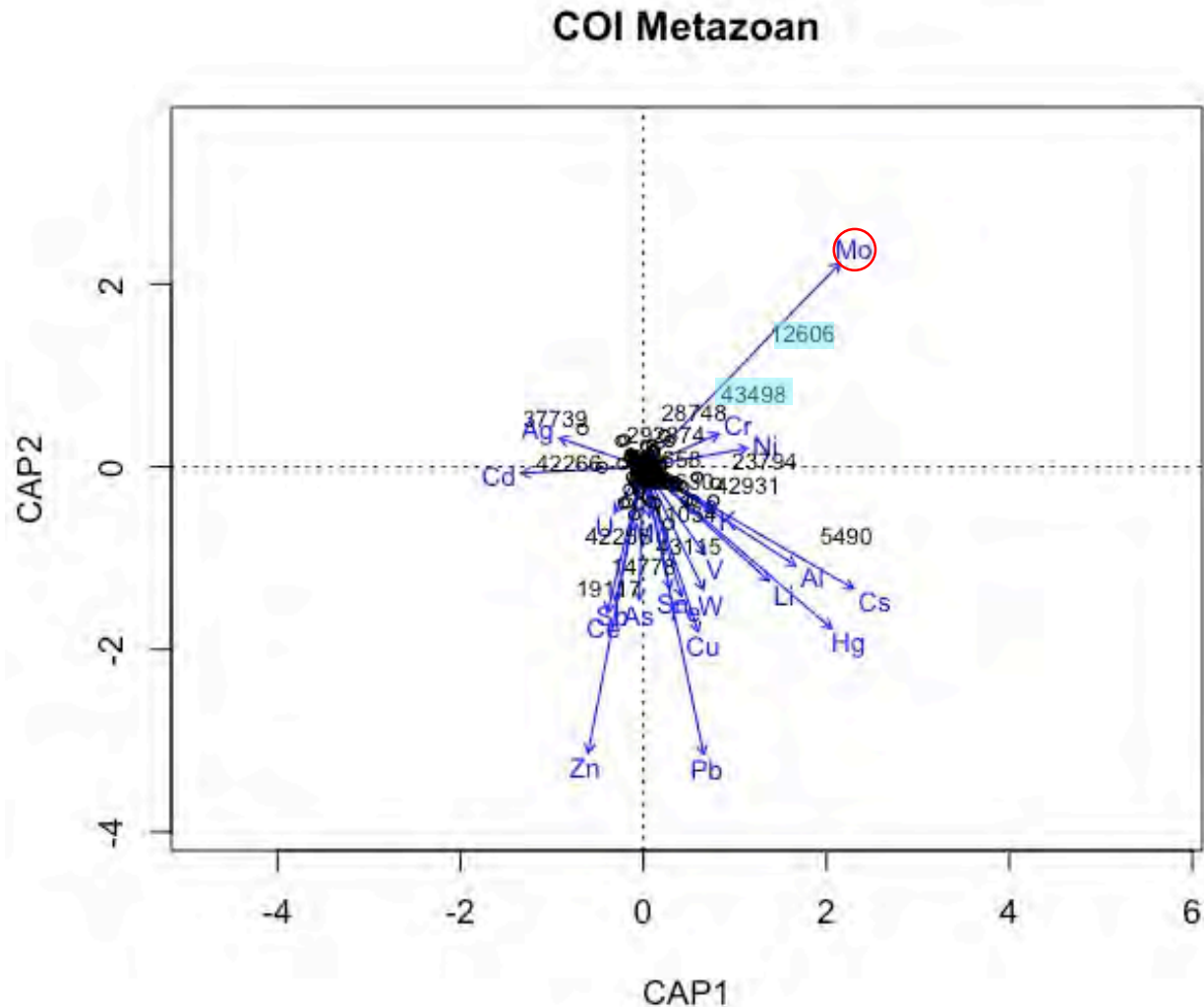
Metal	Positive correlation >0.5	Negative correlation <-0.5
Ce	Gen: Granulosicoccus (96827) Cl: Gammaproteobacteria (114728) Gen: Ruegeria (77570)	
W	Gen: Granulosicoccus (96827) Cl: Gammaproteobacteria (114728) Cl: Alphaproteobacteria (51707) Gen: Ruegeria (77570)	
Pb	Gen: Granulosicoccus (96827) Cl: Gammaproteobacteria (114728) Gen: Ruegeria (77570) Od: Chromatiales (109213) Cl: Alphaproteobacteria (51707) Fam: Lacipirellulaceae (730)	
U	Gen: Granulosicoccus (96827) Cl: Gammaproteobacteria (114728) Cl: Cyanobacteria (120206)	
V	Gen: Granulosicoccus (96827) Cl: Gammaproteobacteria (114728) Cl: Alphaproteobacteria (51707)	
Fe	Gen: Granulosicoccus (96827) Cl: Gammaproteobacteria (114728) Gen: Ruegeria (77570) Cl: Alphaproteobacteria (51707)	
Co		Cl: Gammaproteobacteria (108820) Cl: Gammaproteobacteria (113443) Cl: Gammaproteobacteria (91550)
Cu	Gen: Granulosicoccus (96827) Cl: Gammaproteobacteria (114728) Cl: Alphaproteobacteria (51707)	
Zn	Od: Chromatiales (109213) Fam: Lacipirellulaceae (730) Od: Rhizobiales (48749)	Cl: Gammaproteobacteria (4978)
Sn	Gen: Granulosicoccus (96827) Cl: Gammaproteobacteria (114728)	

Influence des contaminants (ETMM) sur les assemblages épiphytes ?



Metal	Positive correlation >0.5	Negative correlation <-0.5
Ce	Gen: Granulosicoccus (96827) Cl: Gammaproteobacteria (114728) Gen: Ruegeria (77570)	
W	Gen: Granulosicoccus (96827) Cl: Gammaproteobacteria (114728) Cl: Alphaproteobacteria (51707) Gen: Ruegeria (77570)	
Pb	Gen: Granulosicoccus (96827) Cl: Gammaproteobacteria (114728) Gen: Ruegeria (77570) Od: Chromatiales (109213) Cl: Alphaproteobacteria (51707) Fam: Lacipirellulaceae (730)	
U	Gen: Granulosicoccus (96827) Cl: Gammaproteobacteria (114728) Cl: Cyanobacteria (120206)	
V	Gen: Granulosicoccus (96827) Cl: Gammaproteobacteria (114728) Cl: Alphaproteobacteria (51707)	
Fe	Gen: Granulosicoccus (96827) Cl: Gammaproteobacteria (114728) Gen: Ruegeria (77570) Cl: Alphaproteobacteria (51707)	
Co		Cl: Gammaproteobacteria (108820) Cl: Gammaproteobacteria (113443) Cl: Gammaproteobacteria (91550)
Cu	Gen: Granulosicoccus (96827) Cl: Gammaproteobacteria (114728) Cl: Alphaproteobacteria (51707)	
Zn	Od: Chromatiales (109213) Fam: Lacipirellulaceae (730) Od: Rhizobiales (48749)	Cl: Gammaproteobacteria (4978)
Sn	Gen: Granulosicoccus (96827) Cl: Gammaproteobacteria (114728)	

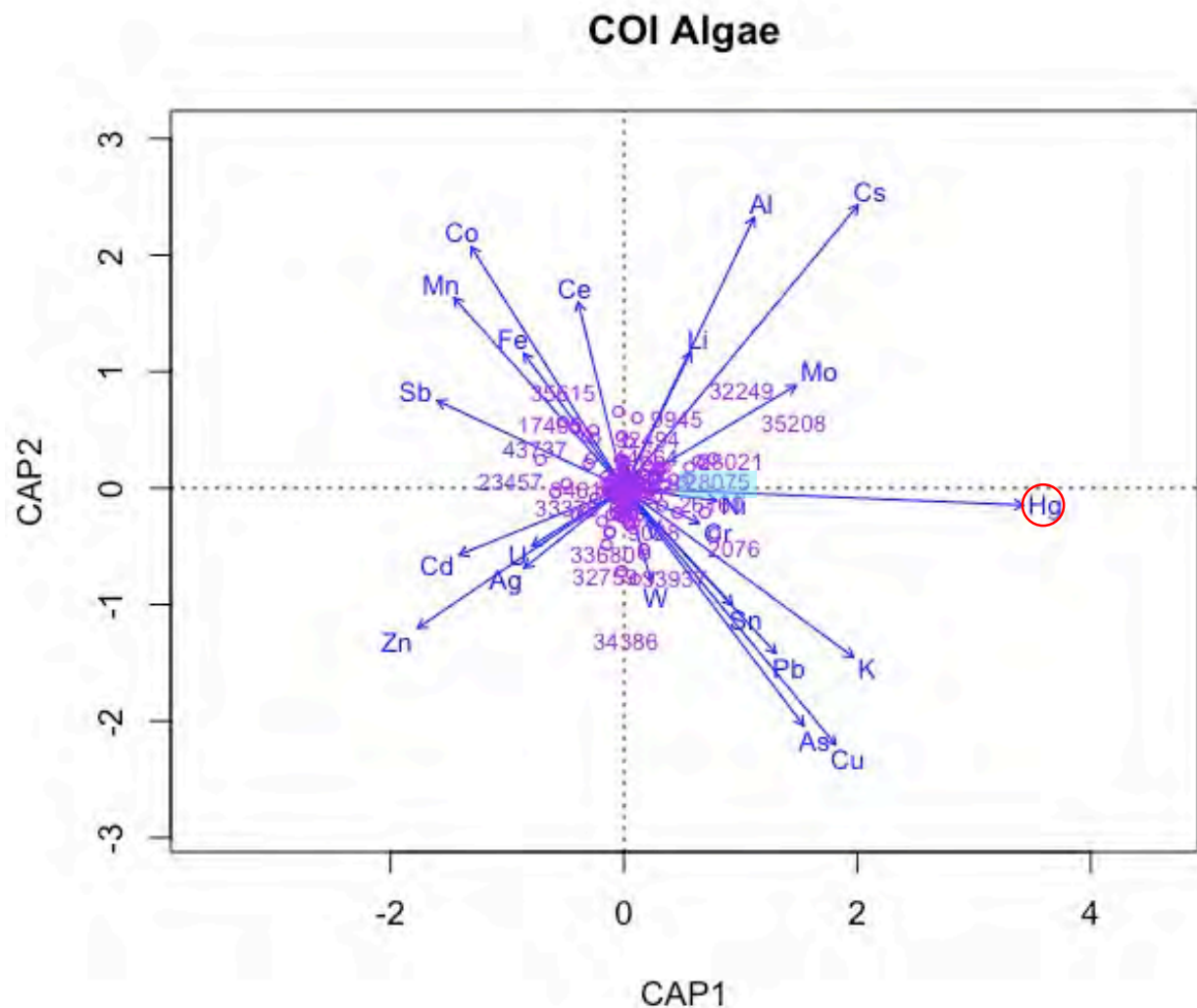
Influence des contaminants (ETMM) sur les assemblages épiphytes ?



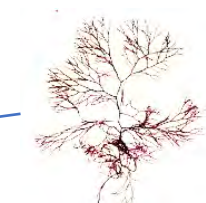
Metal	Positive correlation >0.3
Mn	Sp: <i>Adamsia palliata</i> (43209)
Co	Sp: <i>Adamsia palliata</i> (43209)
Mo	Ph: Arthropoda (43498) Ph: Arthropoda (12606)



Influence des contaminants (ETMM) sur les assemblages épiphytes ?



Metal	Positive correlation >0.3
Mn	Gen: Ceramium (32068)
W	Gen: Lithophyllum (8820)
Hg	Fam: Rhodomelaceae (34201) Gen: Champia (8524) Cl: Florideophyceae (34607) Fam: Rhodomelaceae (28075)
Pb	Gen: Lithophyllum (8820) Fam: Rhodomelaceae (23366)
Co	Gen: Ceramium (32068)
Mo	Od: Ectocarpales (7061) Gen: Hincksia (8208)



Bioconcentration de Polluants Organique Persistant (POP) ?

→ OHM LM-VR MoPoSys, BFR Med & ITEM POP-Transition (LCE L. Malleret, P. Doumenq)

Perception de la contamination de l'écosystème côtier par les pêcheurs

→ 1ere étude ECCOREV EnviPech et à suivre... (LCE L. Malleret, P. Doumenq / LPED C. Barthelemy)

Transfert de contaminant dans la chaîne trophique ?

→ À suivre...

Encagement d'oursins et suivi de biomarqueurs ecotoxicologique

→ 1ere étude AOI IMBE OPE (P-H. Villard) et à suivre...

Extension du réseau de stations instrumentées

→ En cours sur la côte Héraultaise avec Andromède Océanologie (Collaboration avec J. Deter)

Contribution à l'Observatoire du milieu marin de la baie de Fos-sur-Mer

→ En cours avec l'Institut Ecocitoyen

Plongée et Service à la mer

Laurent Vanbostal (OSU Pytheas)
Dorian Guillemain (OSU Pytheas)
Frederic Zuberer (OSU Pytheas)
Christophe Ravel (Ifremer)
Michèle Leduc (Stareso)
Noémie Chabrier (Stareso)
Pierre Pichon (OSU Pytheas)
Arnaud Mahaud (OSU Pytheas)
Patrick Tixidor (OSU Pytheas)
Sandrine Chenesseau (IMBE)
Sandrine Ruitton (MIO)
Christian Marschal (IMBE)
Sacha Molinari (IMBE)
Virgile Calvert (IMBE)

Metabarcoding et bioinformatique

Emese Megleczy (IMBE)
Vincent Dubut (IMBE)
Cécile Chemin

Barcoding et briozaaires

Jean-George Harmelin (MIO)

Chimie des ETMM

Benjamin Oursel (MIO)
Benjamin Misson (U Toulon)
Cédric Garnier (U Toulon)
Bernard Angeletti (CEREGE)

Postdoc

Noelle Sarkis

Etudiants

Camille Rigal (Doctorante)
Cédric Amadéï (M1 & M2)
Edwige Coch (M2)
Paul Martin (M2)
Alice Petit (M1)
Clara Nuber (M1)
Hugo Amella (M1)
Corentin Mouvaux (M1)
Adrien Simorre (M1)
Emma Hermann (L2 & L3)
France Gosselin (L3)
Emma Prevost (L3)
Lou Messinéo (L3)
Dylan Paci (BTS)
Cassandra Gianti (BTS)
Lilou Kieref (BTS)
Melissa Leroux (BTS)
Maël Stavras (BUT)
Alexandre Durochat (BTS)
Bastien Cossurel (BTS)
Msoili Soulaïmana (BTS)

